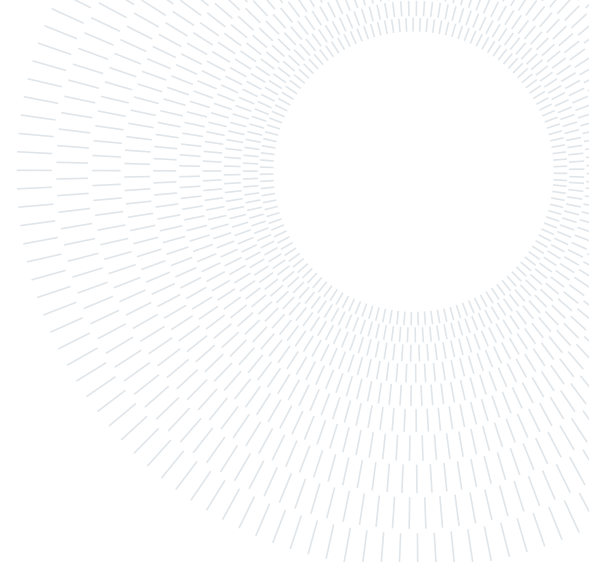




POLITECNICO
MILANO 1863

SCUOLA DI INGEGNERIA INDUSTRIALE
E DELL'INFORMAZIONE



Prova Finale di Propulsione Aerospaziale

LAUREA TRIENNALE IN AEROSPACE ENGINEERING - INGEGNERIA AEROSPAZIALE

Autori: ALEX CRISTIAN TURCU, GIORGIA PALLARA, SILVIA PALA, RESHAL ANTONINO FERNANDO WARNAKULASURIYA,
DANIELE PATERNOSTER

Professore: CHRISTIAN PARAVAN

Anno accademico: 2022-2023

Sommario

La presente relazione di prova finale intende dare una descrizione dell'endoreattore F-1 prodotto da Rocketdyne. Cinque di questi motori vennero installati sul primo stadio S-IC del vettore Saturn V che portò il primo uomo sulla luna. L'obiettivo di questo stadio era quello di portare il razzo ad una quota di 61 km, fornendo un $\Delta v \simeq 2300$ m/s.

Di seguito verranno analizzati i principali sistemi per un singolo motore, partendo dal sistema di alimentazione, passando per il sistema di generazione della potenza ed arrivando infine al sistema di espansione gasdinamico e al suo raffreddamento. Si provvederà inoltre a dare una descrizione quali/quantitativa delle scelte progettuali applicate ai tempi. Infine, verrà studiata una alternativa ai propellenti utilizzati, rimarcando le conseguenze sull'intero sistema propulsivo che tale variazione implica.

Indice

Sommario	I
Indice	II
1 Nomenclatura	1
2 Analisi della missione	1
3 Analisi dei propellenti	2
4 Dimensionamento dei tank	2
5 Schema termodinamico	3
6 Gas generator	4
7 Turbopompa	6
7.1 Descrizione generica Mark 10	6
7.1.1 Pompe LOX e RP1	6
7.1.2 Design e progettazione	6
7.2 Turbina	7
7.2.1 Descrizione turbina	7
7.2.2 Turbina - scelte progettuali	7
7.2.3 Analisi quantitativa - dimensionamento	8
8 Piatto d'iniezione	9
9 Camera di spinta	10
10 Ugello gasdinamico	10
Appendice	11
A Codici MATLAB usati	11
B Confronto peso molecolare gas generator tra caso Fuel Rich e Oxidizer Rich	11
C Prodotti gas generator analizzati con software NASA CEA	11
D Schemi del gas generator	11
E Diagrammi di velocità	11
Bibliografia	14

1. Nomenclatura

2. Analisi della missione

La missione prevede una durata totale di funzionamento dello stadio di 161 s, durante il quale l'obiettivo principale è quello di portare il vettore di lancio ad una altitudine approssimativa di 61 km e ad una velocità di circa 2388 m/s. La sequenza di accensione prevede l'avvio del motore centrale per primo, seguito in sequenza dalle due coppie di motori simmetrici, questi accesi con un ritardo di 300 ms allo scopo di ridurre al minimo le vibrazioni sulla struttura principale; il computer di bordo attende quindi il raggiungimento del valore di spinta massimo per inviare il comando di sgancio del razzo dalla rampa di lancio. Il vettore, una volta sganciato, non può più essere fermato. Ad un'altitudine fissata di 1300 metri, il Saturn V comincia una manovra di rollio attorno al suo asse al fine di raggiungere la traiettoria corretta per il prosieguo della missione. La totalità delle informazioni riguardanti le istruzioni per l'assetto e i venti dominanti nel periodo di lancio sono pre-registrate nel programma di lancio. È inoltre necessario lo spegnimento del motore centrale a $t = 135$ s, prefissato da programma, per non superare i limiti strutturali di carico massimo sopportabile. La spinta, infatti, non è un fattore controllabile nei motori F-1 e, per ovviare a questo problema, si provvede quindi ad interrompere direttamente il flusso di propellente al motore. [1] [2]

Di seguito sono riportate le formule e i risultati di una simulazione della missione del primo stadio del Saturn V, il cui scopo è di analizzare le variazioni dei vari parametri di interesse del razzo durante tutto il tempo di volo. Tale simulazione è stata realizzata con l'ausilio del software MATLAB, con il quale è stato risolto il sistema di equazioni differenziali descritto più avanti. L'algoritmo numerico risolutivo scelto è il metodo di Eulero in avanti.

Per la simulazione del lancio è stato sviluppato un modello con determinate ipotesi semplificative al fine di descrivere l'intera dinamica del razzo:

- è stato utilizzato un modello di Terra piatta ed irrotazionale, al fine di adottare un sistema di riferimento inerziale, trascurando dunque effetti di variazione di traiettoria dovuti allo spostamento terrestre e variazioni di quota dovute al cambiamento di latitudine durante il volo;
- i valori di pressione e temperatura ambientale al variare della quota sono stati ottenuti mediante l'uso del Modello di Atmosfera Standard, ponendo una temperatura di riferimento al suolo di 25°C;
- il valore di portata massica del propellente ai motori è assunto costante durante tutto il funzionamento dello stadio, con una variazione del suo valore soltanto a seguito dello spegnimento del motore centrale al tempo prefissato;
- per ricavare le forze di resistenza aerodinamica e l'angolo di volo sono state utilizzate le curve sperimentali presenti nel report della missione dell'Apollo 11. [2]

Il modello matematico realizzato per la descrizione del vettore di lancio consta dunque delle seguenti equazioni:

$$\begin{aligned}
 h_k &= h_{k-1} + v_{v,k} dt & v_v &= \frac{da_v}{dt} & v_h &= \frac{da_h}{dt} & v_{tot} &= \sqrt{v_v^2 + v_h^2} \\
 \phi &= \arctan \frac{v_h}{v_v} & a_v &= -g + \frac{T \cos \theta - D \cos \phi}{m} & a_h &= \frac{T \sin \theta - D \sin \phi}{m} \\
 g &= \frac{\mu}{(R_T + h)^2} & m &= m_i - \dot{m} t & T &= T_{vac} - A_e p_e & D &= \frac{1}{2} \rho v_{tot}^2 S C_D
 \end{aligned}$$

Seppur il modello risulti semplificato rispetto alla complessa realtà fisica di funzionamento, si ottengono andamenti delle principali grandezze fisiche di interesse perfettamente in linea con gli andamenti tabellati forniti nel report del vettore di lancio. [2]

I requisiti fondamentali, ovvero il raggiungimento della quota prefissata e della velocità finale prima dello sgancio dello stadio S-IC, risultano soddisfatti e sufficientemente precisi, con un valore ottenuto di 59557 m e 2353 m/s.

Di seguito sono riportati i grafici di alcune grandezze in funzione del tempo di volo:

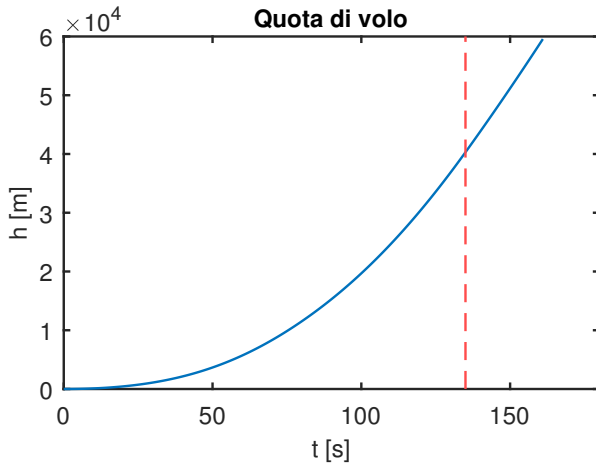


Figura 1: Quota in funzione del tempo

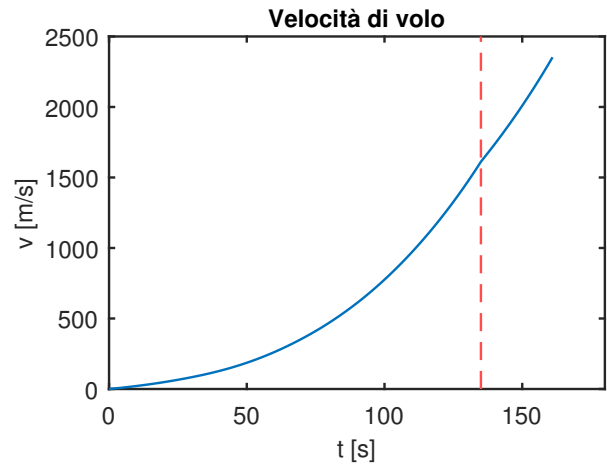


Figura 2: Velocità in funzione del tempo

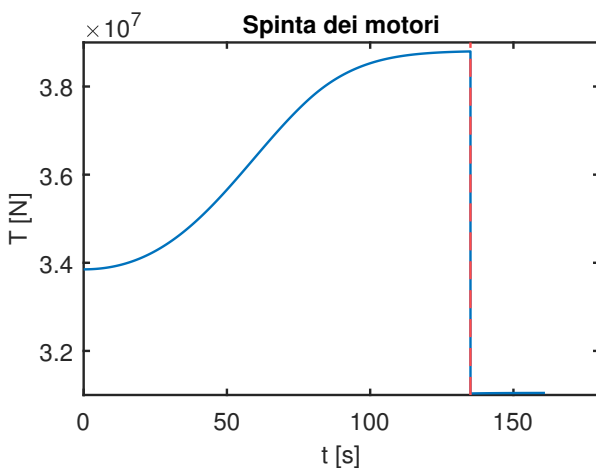


Figura 3: Spinta in funzione del tempo

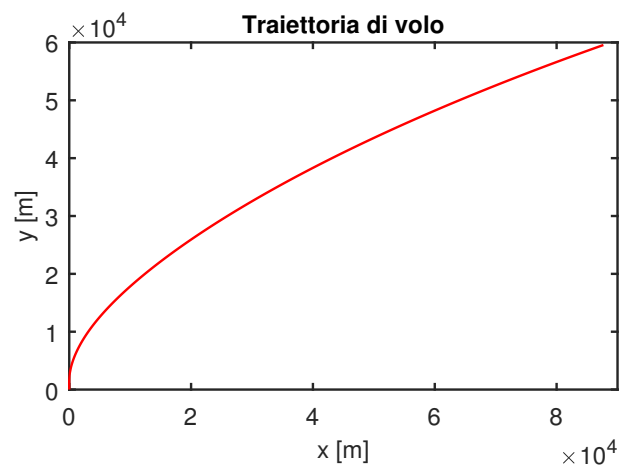


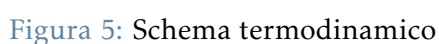
Figura 4: Traiettoria del vettore

Le evidenze sperimentali ci permettono quindi di assumere il modello implementato come effettivamente rappresentativo del lancio del Saturn V avvenuto nella realtà.

3. Analisi dei propellenti

4. Dimensionamento dei tank

In tabella e figura vediamo alcuni dati rappresentativi del sistema intero. Si è ipotizzato di trattare i gas come perfetti e di assumere come dati alcuni rendimenti e alcune grandezze caratteristiche.



6. Gas generator

Il gas generator del motore F-1 è il sistema adibito alla produzione di gas caldi per alimentare la turbopompa. Tale sistema è composto da una camera di combustione progettata ad hoc per questo tipo di sottosistema. Vengono utilizzati gli stessi propellenti utilizzati nella camera principale ma con diverso rapporto O/F (valore in [Tabella 1](#)). La necessità di avere un O/F lontano dal valore stechiometrico è dettata dal contenere le temperature del flusso che impatterà sulla turbina: questo lo si ottiene con miscele ricche in ossidante o ricche in combustibile. In questo caso è stata scelta una miscela ricca in combustibile per molteplici motivi: evitare ossidazioni di componenti che sarebbero convenute con una miscela ad alta percentuale in LOX, diminuire la possibilità di eventuali guasti causati da flussi surriscaldati (più probabili nel caso Oxider Rich) e contenere il consumo specifico della turbina, poiché il peso molecolare dei gas risulta minore nel caso Fuel Rich ([Appendice B](#)).

La scelta di optare per una miscela FR ha anche alcuni aspetti negativi, tra cui la complessità della cinetica del processo chimico dovuta alla produzione di idrocarburi, che solitamente creano depositi solidi ([Appendice C](#)). Anche con questi valori bassi di O/F, la combustione nel GG viene completata in camera (quindi è molto rapida); al contrario, i processi di evaporazione e di mixing sono molto lenti. Tale problema si riscontra in maniera tangibile nei GG, mentre è meno evidente nelle camere di spinta dei LRE, dove tali processi sono più veloci. Per avere una buona evaporazione dei propellenti è necessaria una zona di combustione molto larga (più iniettori con portate minori), mentre per avere un buon mixaggio è necessaria una camera allungata in direzione del flusso: questi due problemi vengono ovviati tramite scelte di design specifiche trattate di seguito.

Nella creazione di un elemento GG, in particolare la sua camera di combustione, si devono considerare dei prerequisiti fondamentali per il suo corretto funzionamento:

- dato che l'atomizzazione degli iniettori spesso non è sufficiente, essa viene relegata anche ad effetti aerodinamici ottenuti tramite la geometria della camera, in modo il flusso del gas venga differenziato in zone di alta e bassa velocità che favoriscono la vaporizzazione;
- deve essere forzato il mixing tra prodotti di combustione e eccesso di combustibile per fornire una temperatura uniforme in uscita, in modo da evitare un guasto in turbina causato da zone calde, che solitamente sono localizzate al centro del flusso;
- forma e dimensione devono essere adattate all'ingombro del resto del motore, per avere un sistema il più compatto possibile;
- le perdite di pressione prodotte nella camera non devono essere troppo elevate.

Di seguito troviamo raffigurato il GG di nostro interesse (più particolari in [Appendice D](#)):

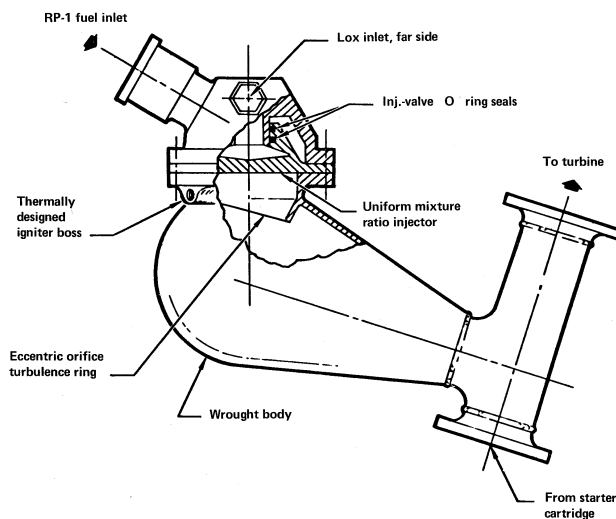


Figura 6: Schema del gas generator

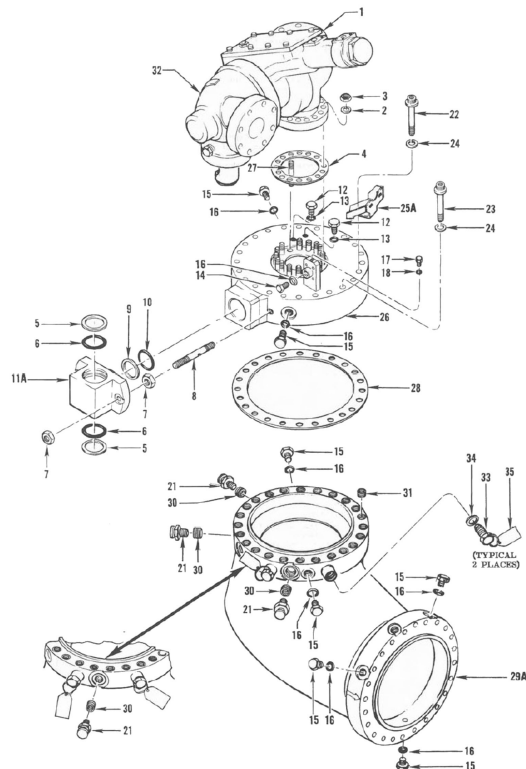


Figura 7: Esploso del gas generator

In base alle considerazioni sopra citate si spiegano alcune scelte progettuali per questo componente.

- La forma del GG, per cui lo scarico dei gas avviene in maniera inclinata rispetto alla direzione del piatto di iniezione, è dettata da requisiti di spazio e disposizione rispetto alle altre componenti.
- La scelta di camera sferica e non assiale permette di aumentare il livello di mixing di gas combusti e combustibile vaporizzato in eccesso.
- Il fondo della camera è incurvato e reso planare per non accumulare i prodotti di scarico.
- La zona di ingresso dei gas in turbina è composta da una sezione ad area costante, in modo da rendere il flusso il più uniforme possibile prima dell'ingresso in turbina.
- Il corpo della camera di combustione è convergente in maniera da differenziare la velocità e ottenere migliore atomizzazione.
- Il piatto di iniezione scelto per il GG è un semi-UMR (Uniform Mixture Ratio), ovvero ha le zone esterne più ricche in combustibile per ottenere film cooling, mentre la maggior parte dell'iniezione avviene a O/F predefinito. Altri iniettori, come HCI, hanno una stratificazione dei gas e delle temperature: ciò non è consigliabile per gas che devono impattare sulle palettature. Inoltre, un iniettore HCI non è compatibile con la forma arrotondata del corpo poiché provocherebbe un surriscaldamento del fondo della camera.
- L'iniettore deve avere diametri più ristretti possibile per migliorare atomizzazione, compatibilmente con quelli fabbricabili.
- Il TR (Turbulence Ring) viene posizionato poco dopo il piatto d'iniezione per rimediare ai problemi di basso ratio di mixing attraverso la creazione di un reverse flow. Questo permette un alto livello di mescolamento tra specie presenti per uniformare così la temperatura ed evitare stratificazioni del flusso, le quali causerebbero il fenomeno di "momentum separation", un flusso chiaramente non sostenibile dalla turbina. Questo reverse flow è reso più efficace grazie alla porzione circolare della camera che accoglie questo moto vorticoso. La posizione del TR è scelta per evitare il surriscaldamento dello stesso, dato che a monte della camera i gas vaporizzati devono ancora essere igniti e hanno dunque temperature relativamente basse. Il TR deve inoltre essere in

grado di non provocare alte cadute di pressione: questo è ottenuto rendendo il TR conico (visibile in [Appendice D](#)).

- L'ignitore deve essere posizionato poco dopo il piatto di iniezione (una best practice è tra 2.5 e 3.8 cm dal piatto). Viene inoltre posizionato in zone molto vicine ai punti di ristagno del flusso, in cui la combustione viene resa efficace.

T_c [K]	p_c [bar]	p_{out} [bar]	t_p [ms]	O/F	\dot{m}_{fuel} [kg/s]	\dot{m}_{ox} [kg/s]
1062	67.57	65.15	5	0.416	53.52	22.23

Tabella 1: Dati reali del gas generator

Una stima quantitativa del volume totale necessario alla camera di combustione per adempiere alle richieste della stessa è basato su un tempo di permanenza, ricavato nel caso dei GG per ogni coppia di propellente. Nel caso del GG dell'F-1 si ha:

$$V_{cc} = t_p \frac{\dot{m}_{gg}}{\rho_{gc}} = 5 \cdot 10^{-3} \cdot \left(\frac{53.52 + 22.23}{18.3406} \right) \text{m}^3 = 0.02065 \text{m}^3$$

7. Turbopompa

7.1. Descrizione generica Mark 10

Il gruppo turbopompa Mark 10 è montato parallelamente alla mezzeria longitudinale della camera di spinta ed è sostenuto principalmente da due gruppi stabilizzatori a tre gambe saldati al corpo della camera e dai quattro condotti del propellente ad alta pressione installati tra la turbopompa e la camera di spinta. Il gruppo è composto da due pompe centrifughe montate schiena contro schiena (back-to-back) su un albero comune e azionate direttamente da una turbina a gas ad impulso. L'albero principale e i componenti rotanti sono collegati direttamente all'albero e sono bilanciati dinamicamente. L'albero è supportato da due gruppi di cuscinetti a sfere riscaldati elettricamente e raffreddati a carburante nell'area della pompa del LOX (per mantenere l'ossigeno in fase liquid)e da un gruppo di cuscinetti a rulli raffreddati a carburante nell'area della turbina, mentre per isolare i propellenti, il fluido di raffreddamento e i gas caldi sono presenti un insieme di guarnizioni in carbonio, plastica (Kel-F, Teflon) e gomma sintetica (Buna-N, Viton-A).

7.1.1 Pompe LOX e RP1

Entrambe le pompe del sistema Mark 10 sono di tipo centrifugo. Questo tipologia di pompa permette di avere un salto di pressione ΔP maggiore per singolo stadio rispetto alle pompe assiali, a discapito di un calo di efficienza. Questo trade-off permette di risparmiare in termini di peso e ingombro, a patto di contenere il decremento di efficienza con opportune scelte progettuali. Per pompe con fluido di lavoro a densità simile, come RP-1 e LOX, e simili pressione di scarico, si può mantenere la velocità angolare costante.

7.1.2 Design e progettazione

Nei seguenti paragrafi verrà considerato il funzionamento a regime, per poter semplificare il processo di design preliminare.

Il criterio principale da richiedere alla pompa è quello di avere una certa prevalenza, ovvero fornire un certo salto di pressione che viene calcolato in base ai requisiti di pressione in camera e sommando le perdite lungo i collegamenti. Tale grandezza viene definita in termini di lunghezza o head-rise H definito in questo modo

Impeller Il primo componente preso in considerazione è la girante, o impeller, che essenzialmente è costituita da un disco rotante e da un numero predefinito di palette con un certo angolo di ingresso e uscita. In particolare, il flusso entra quasi assialmente e viene indotta una componente rotazionale e un certo angolo di uscita dettato dalla paletta. Il fluido viene messo in rotazione e uscendo dalla girante, viene sottoposto a forze centrifughe di intensità crescente. Tale processo aumenta la velocità e la pressione statica (aumenta quindi la pressione totale del fluido). Per questo tipo di componente risultano di interesse i diagrammi di velocità, in particolare i valori di velocità risultano utili nel calcolo della head-rise sviluppato da tale componente. Gli angoli relativi β_i invece sono direttamente correlati alla geometria della palettatura. Con i dati ricavati da vari manuali, si sono ricavati i triangoli di velocità di entrambe le pompe all'inlet e outlet.

Inducer

7.2. Turbina

7.2.1 Descrizione turbina

La turbina che fornisce la potenza necessaria alle pompe del sistema motore F-1 è definita come turbina a impulso (variazione di pressione statica solamente negli statori), e cosiddetta 2 row - velocity compounded (VC). Ovvero costituita da 2 file di rotori intramezzati da uno statore. Il gas caldo prima di passare in questa zona viene espanso in una schiera di ugelli che aumentano notevolmente la velocità: per le turbina VC, idealmente, tutta l'espansione avviene in questa zona. Successivamente i rotori, venendo impattati da un gas, sottraggono quantità di moto al fluido. Lo statore intermedio ha la funzione di reinidirizzare il flusso all'ingresso dell'ultimo rotore. Oltre a queste zone citate, nella turbina c'è una zona di ingresso, manifold, che convoglia il flusso ai nozzles. I nozzles, che sono generalmente convergenti-divergenti per una turbina VC, espandono il gas e lo incurvano per affrontare il primo rotore. Entrambe le i rotori della turbina sono costituiti da dischi i quali presentano dei 'fir tree' slot lungo la circonferenza, dove vengono inserite e rivettate le palette. Il rotore iniziale è calettato direttamente sull'albero, l'ultimo viene imbullonato sul primo e vengono separati da un distanziale. Le guarnizioni sono di diverso tipo, in questa sede non verranno approfondite, ma hanno il compito di contenere le perdite e quindi migliorare l'efficienza.

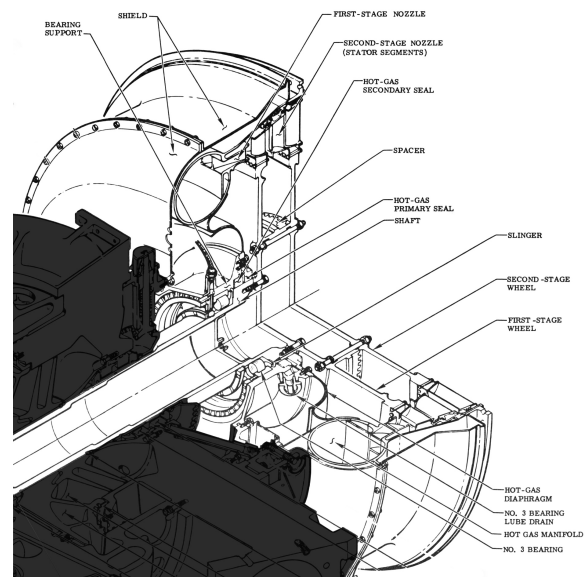


Figura 8: Turbina ad impulso VC dell'F-1

7.2.2 Turbina - scelte progettuali

Il sistema turbina di un endoreattore ha una vita breve ma è sottoposto a parecchi carichi critici. Il design deve essere compatto e leggero, il fluido che espande deve avere un alto contenuto energetico, il lavoro specifico in uscita deve essere alto. La progettazione dell'elemento turbina è direttamente collegato al tipo di ciclo di alimentazione del motore, nel caso di un GG si vuole massimizzare il salto di pressione per minimizzare la portata spillata prima della camera di spinta (questo infatti massimizza l'impulso specifico del sistema).

Per l'analisi del percorso aerotermodinamico del gas si tratta un flusso di gas combusti a chimica congelata (FE). Tali parametri fisici sono stati interpolati tramite MATLAB da una tabella fornita dal libro [] (Modern engineering for LRE systems, AIAA, Huzel, ...), dati ricavati da test sperimentali di

NASA. Di seguito vediamo quali parametri principali vengono utilizzati per la scelta e il dimensionamento della turbina.

- **Spouting velocity:** è la velocità teorica che il flusso di gas avrebbe se espandesse dalla pressione di ristagno alla pressione di uscita (data dal rapporto ϵ di espansione)

$$C_0 = \sqrt{2C_{p,gg}T_{in}\left(1 - \epsilon^{\frac{1-\gamma}{\gamma}}\right)}$$

- **Rapporto isoentropico delle velocità:** è il rapporto tra velocità tangenziale del disco rotorico e la spouting velocity.

$$\frac{U}{C_0} =$$

Questo valore è utile per capire la scelta progettuale effettuata per il tipo di turbina. Infatti, come già detto, nei cicli GG il salto di pressione in turbina è molto alto: questo implica un valore di C_0 elevato. Per avere una buona efficienza si possono percorrere più scelte progettuali (basandosi sul grafico x dei rendimenti). Si può scegliere di avere un alto rapporto di velocità con una singola ruota che 'assorba' tutta l'energia del flusso. Questo provocherebbe nel nostro caso una velocità di rotazione troppo elevata (quindi ingombro maggiore, inoltre la velocità di rotazione è fissata dalla pompa). Per usare altre turbine, cercando di avere un'alta efficienza si cerca di diminuire il rapporto di velocità aumentando gli stadi, ovvero la velocità del flusso è assorbita da più dischi che ruotano a velocità minori e sono più piccoli. Le turbine PC (generano il salto di pressione in tutti gli statori) sono più efficienti ma più pesanti. Per cui si è optato per un sistema VC, che ha buona efficienza a bassi rapporti di velocità e permette un risparmio in peso.

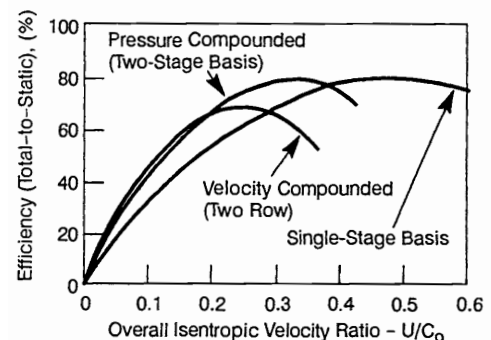


Figura 9: Rendimenti in funzione del rapporto di velocità

7.2.3 Analisi quantitativa - dimensionamento

L'obiettivo ora è quello di cercare di dare un'idea a livello quantitativo dei vari componenti, generando un diagramma di velocità della turbina. Per questa sezione si sono presi in considerazione i requisiti del sistema turbina, si sono ipotizzati diversi valori di rendimenti e sono state fatte alcune assunzioni ragionevoli per questo tipo di sistema (AIAA, modern engineering of LRE, Huzel ..). Abbiamo assunto i seguenti requisiti di sistema

$T_{in} [K]$	$p_{in} [bar]$	ϵ	O/F	$\dot{m} [kg/s]$	$\omega [rad/s]$
1062	67.57	16.4	0.416	75.75	574.4

Tabella 2: Requisiti del sistema turbina

Assumendo tali dati, aggiungendo alcune ragionevoli ipotesi tratte dal libro AIAA e risolvendo il sistema di equazioni associato al problema, troviamo il seguente diagramma velocità e i corrispondenti valori di velocità e angoli. Si rimanda all'appendice per tutti i dettagli su ipotesi fatte, impostazione del sistema di equazioni e risoluzione del sistema tramite Matlab.

8. Piatto d'iniezione

Gli iniettori sono collocati all'estremo superiore della camera di spinta e hanno lo scopo di distribuire il propellente in camera, regolando il rapporto di diluizione, la pressione e lo schema di spruzzo al fine di avviare e sostenere una combustione stabile. Per determinare questi valori sono stati necessari circa 3200 test su larga scala: al fine di generare un'esplosione controllata, risulta fondamentale che essa sia dinamicamente stabile, ossia che sia prevedibile e non crei punti caldi che porterebbero alla fusione di componenti del motore.

Il piatto di iniezione ha un diametro di 111.76 cm, è realizzato in CRES, acciaio molto resistente alla corrosione, ed è strutturato in 31 anelli, questi divisi in 13 scompartimenti da 2 deflettori circolari e 12 radiali. I vari compartimenti sono numerati da 1 a 13, mentre i deflettori sono identificati da lettere dalla A alla N.

La faccia del piatto di iniezione conta 1428 orifizi per l'ossidante e 1404 orifizi per il carburante. I getti vengono atomizzati attraverso una disposizione a doppietti omogenei, i vapori di combustibile e di ossidante si miscelano e reagiscono a formare i gas propellenti, destinati successivamente all'espansione in ugello.

Le 31 scanalature che costituiscono gli anelli consistono in 16 scanalature per il combustibile alternate alle 15 scanalature per l'ossigeno liquido. Gli anelli per il carburante sono alimentati attraverso un collettore radiale, mentre gli anelli per l'ossidante sono alimentati dal LOX dome tramite fori assiali.

Il LOX dome è considerabile il primo componente della camera di spinta: esso ha dimensioni 162.6 x 48.3 x 111.8 cm, con un peso di 818.3 kg; è realizzato in lega di ferro, rame e alluminio, con rivestimento in nichel e coating in silice. Il corpo del LOX dome contiene la flangia di attacco e i montanti di supporto per interfacciarsi con l'iniettore.

Il collettore invece incorpora due ingressi per il montaggio delle valvole di ossidante e una flangia per la linea di alimentazione dell'ossidante allo scambiatore di calore. Per evitare vorticità nell'ossidante, il collettore è isolato in due compartimenti da due argini toroidali. Solamente il 30% del combustibile viene indirizzato direttamente al collettore, mentre il restante 70% viene utilizzato per il raffreddamento rigenerativo della camera di spinta.

Sono inoltre presenti due alloggiamenti per gli ignitori del combustibile in ciascuno dei 12 scomparti esterni, e un alloggiamento del combustibile nel compartimento centrale, tutti collegati al collettore da singoli tubi di alimentazione.

Come detto precedentemente, è fondamentale ottenere una combustione stabile per non incorrere in danni alla camera di combustione: la stabilità è raggiunta principalmente mediante l'uso dei deflettori (baffles), oltre che variando l'angolo di impingement e il diametro degli orifizi in funzione della posizione sul piatto d'iniezione.

I deflettori in particolare alterano le caratteristiche acustiche di risonanza della camera di combustione, smorzando così le onde d'urto generate dalla combustione. I 12 deflettori radiali in rame sono alimentati dal deflettore circolare esterno. La configurazione dei deflettori utilizzata per il propulsore è stata ottenuta a seguito di vari test, nel quale si è ricercata la maggior stabilità di combustione possibile. Nella configurazione finale, i deflettori misurano circa 8 cm ciascuno e sono tutti dump-cooled, ovvero il raffreddamento è realizzato attraverso la circolazione di carburante all'interno del deflettore che viene successivamente scaricato nella camera di combustione.

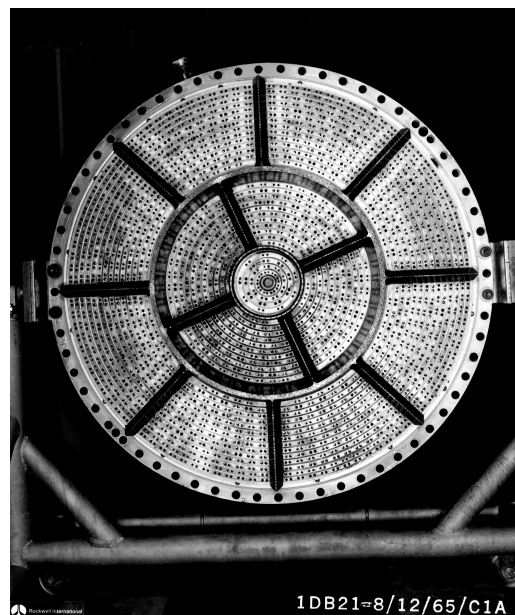


Figura 10: Piatto di iniezione

9. Camera di spinta

10. Ugello gasdinamico

Appendice

A. Codici MATLAB usati

B. Confronto peso molecolare gas generator tra caso Fuel Rich e Oxidizer Rich

Per poter apprendere come l'O/F influisca sulla massa molare dei prodotti si è utilizzato il software NASA CEA (CEAM). Si è utilizzato un problema HP, in modo da far raggiungere l'equilibrio chimico senza bloccarlo imponendo una temperatura (il problema HP di NASA CEA, con il GG, tende a sovrastimare la temperatura raggiunta). La temperatura di equilibrio in questo caso è un parametro importante poichè in uscita dal GG abbiamo il vincolo della palettatura di turbina. Si è imposto che la temperatura in uscita dal GG debba essere minore di 1500K sia in FR che OR. Si è fatto variare l'O/F da nel range 0.2/18, si sono plottati i grafici di MM, T, γ in funzione dell'O/F.

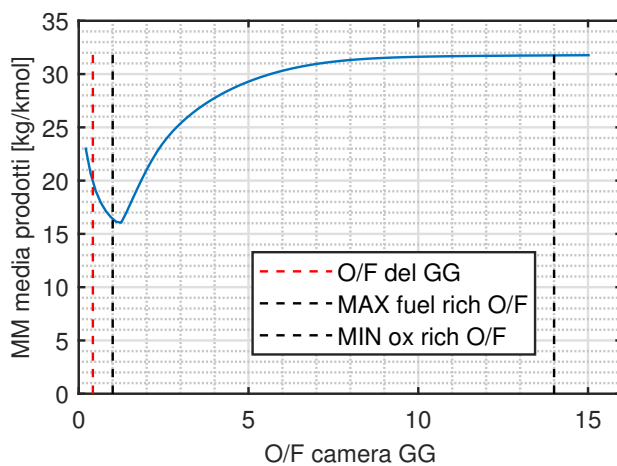


Figura 11: Massa Molare prodotti in funzione di O/F

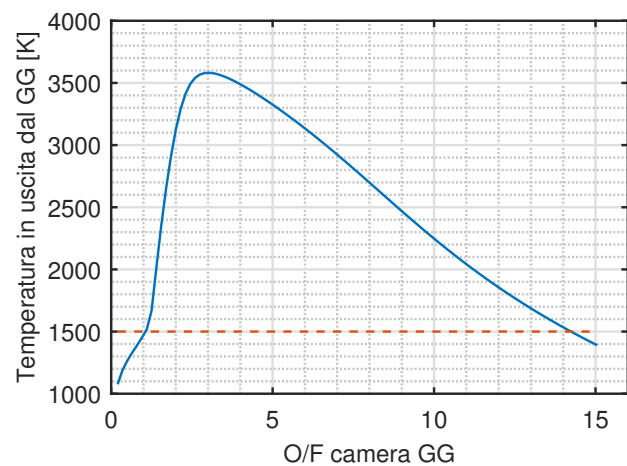


Figura 12: Temperatura in uscita dal GG in funzione di O/F

Dal primo grafico si nota come ad O/F bassi (fuel rich mixture) si ottenga una massa molare media più bassa rispetto ai fuel rich. La zona compresa tra le due linee tratteggiate nere, nel primo grafico, non deve essere considerata poichè ad essa sono associate temperature troppo elevate per la turbina, come si nota nel grafico immediatamente a destra. Un altro vantaggio dato dalle miscele FR è che il valore di c_p è più alto che nel caso OR. Questo permette di ottenere un lavoro specifico della turbina maggiore con le miscele FR. Infatti:

$$\Delta h_{id} = c_p \left(1 - \epsilon^{\frac{1-\gamma}{\gamma}} \right)$$

Tale valore è influenzato principalmente dal valore di $c - p$. Esso diminuisce, aumentando il rapporto O/F, per cui si ha una variazione di lavoro specifico rispetto all'O/F, come mostra il seguente grafico.

C. Prodotti gas generator analizzati con software NASA CEA

D. Schemi del gas generator

E. Diagrammi di velocità

Per poter risolvere il problema si sono assunti i seguenti requisiti forniti dal manuale:

$T_{in} [K]$	$p_{in} [bar]$	ϵ	O/F	$\dot{m} [kg/s]$	$\omega [rad/s]$
1062	67.57	16.4	0.416	75.75	574.4

Tabella 3: Requisiti del sistema turbina

Inoltre abbiamo ipotizzato alcuni rendimenti:

η_{tot}	k_n	$\eta_n = k_n^2$	k_{blade}
0.6	0.96	0.9216	0.89

Tabella 4: Ipotesi rendimenti: ugelli e palette

In particolare abbiamo ipotizzato un rendimento di turbina VC generico. Il parametro k_n indica quanto la velocità C_1 si discosti in modulo dalla velocità isoentropica C_0 . Il parametro k_{blade} indica la perdita in modulo di velocità, provocata dall'attrito che il fluido incontra nell'attraversare la palettatura. In particolare, nei rotor la velocità scalata con questo parametro è la velocità relativa. Nello statore è la velocità assoluta ad essere scalata con questo parametro. Definiamo infine le velocità e gli angoli da trovare in questo problema. Supponiamo la turbina VC costituita dai seguenti elementi: sezione nozzle, un rotore, uno statore e un rotore. La nomenclatura è definita dalla seguente immagine, con \vec{v}_i si indica la velocità relativa mentre con \vec{c}_i si indica la velocità assoluta. Con \vec{U} si indica la velocità tangenziale, supponendo di essere ad un raggio medio della palettatura dall'albero. Supponiamo di voler definire tutte le velocità assolute in modulo C_i e tutti gli angoli assoluti α_i . Da cui si possono definire i valori vettoriali delle velocità \vec{C}_i . In questo modo possiamo chiudere il problema perchè le velocità relative sono $\vec{V}_i = \vec{C}_i - \vec{U}$. Per cui possiamo definire il sistema di equazioni per trovare i valori di velocità e angoli assoluti. Si hanno in totale 8 valori incogniti, ovvero una coppia di valori (C_i, α_i) per ogni elemento del diagramma (nozzle, 1st rotor, stator, 2nd rotor). Le equazioni da risolvere sono le seguenti:

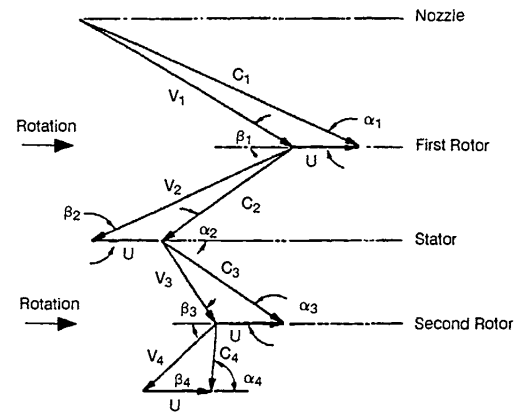


Figura 13: Definizione grandezze

$$\left\{ \begin{array}{ll} C_1 = k_{blade} C_0 & C_1 \\ \frac{U}{C_1} = \frac{1}{4} \cos \alpha_1 & \alpha_1 \\ \alpha_2 = \alpha_3 & \alpha_2 \alpha_3 \\ \alpha_4 = \frac{\pi}{2} & \alpha_4 \\ C_4 = 0.5 \sqrt{\gamma_{gc} R_{gc} T_{out,t}} & C_4 \\ C_3 = k_n C_2 & C_3 C_2 \\ V_2(C_2, \alpha_2) = k_n V_1(C_1, \alpha_1) & C_1 C_2 \alpha_1 \alpha_2 \\ V_4(C_4, \alpha_4) = k_n V_3(C_3, \alpha_3) & C_3 C_4 \alpha_3 \alpha_4 \end{array} \right.$$

La quantità C_0 è calcolata in questo modo, supponendo una espansione isoentropica:

$$C_0 = \sqrt{2c_{p,gg} T_{in} \left(1 - \epsilon^{\frac{1-\gamma}{\gamma}} \right)} = 1172.085 \text{ m/s}$$

La seconda equazione è stata ricavata dalla massimizzazione del rendimento della paletta, ricavata dal manuale AIAA. La terza equazione ipotizza che la paletta dello statore sia simmetrica per cui gli angoli della velocità assoluta sono uguali. La quarta equazione assume che il flusso in uscita sia allineato con l'efflusso della turbina, ovvero un flusso totalmente assiale. La quinta equazione assume che il mach all'efflusso sia di 0.5. Le ultime tre equazioni rappresentano la perdita del valore assoluto della velocità per via del passaggio nella palettatura rotorica e statorica. Elaborando il sistema, si possono scrivere le ultime due equazioni in due incognite ovvero si ricava un sottosistema autonomo non lineare, risolto tramite Matlab. Da qui si ricavano tutti i valori di interesse, e si può tracciare il diagramma di velocità.

Bibliografia

- [1] George C. Marshall Space Flight Center. *Saturn V Flight Manual SA-507*. National Aeronautics and Space Administration, 10 1969.
- [2] George C. Marshall Space Flight Center. *Saturn V Launch Vehicle Flight Evaluation Report - AS-506 Apollo 11 Mission*. Technical report, 9 1969.
- [3] Rocketdyne. *R3986-1 Technical Manual Engine Data, F-1 Rocket Engine*. National Aeronautics and Space Administration & Rocketdyne, 2 1967.